

**МИНИСТЕРСТВО НАУКИ И ВЫСШЕГО ОБРАЗОВАНИЯ РОССИЙСКОЙ  
ФЕДЕРАЦИИ**

**Федеральное государственное автономное образовательное учреждение  
высшего образования  
«Национальный исследовательский  
Нижегородский государственный университет им. Н.И. Лобачевского»**

Радиофизический факультет  
Кафедра теории колебаний и автоматического регулирования

Направление «Радиофизика»

**ОТЧЕТ ПО УЧЕБНОЙ ПРАКТИКЕ**

Практика по получению первичных профессиональных  
умений и навыков

**НАЗВАНИЕ ОТЧЕТА**

Научный руководитель:  
доцент, к.ф.-м.н.,

\_\_\_\_\_ Клиньшов В.В.

Научный консультант:  
ученая степень, звание

\_\_\_\_\_ ФИО

Студент 1-го курса магистратуры:

\_\_\_\_\_ Есюнин Д.В.

Нижний Новгород  
2020 год

# Введение

В больших нейронных сетях, где имеется огромное количество нейронов, организованных в сети функционально сходных нейронов. Типичный кортикальный нейрон получает тысячи синапсов, большинство из них от соседних нейронов; воздействие одного пресинаптического спайка на постсинаптическую клетку относительно невелико. Более того, спайковые цепочки кортикальных нейронов в высшей степени стохастичны и нерегулярны, следовательно, существует много шума в синхронизации спайков. Возникает вопрос о том, передает ли наблюдаемая нерегулярность последовательности спайков информацию или, скорее, отражает влияние различных источников шума, присутствующих в клетке. Даже если время межспайковых интервалов от отдельных клеток зашумлено, информация все равно может передаваться в средней активности слабо коррелированных нейронов.

**Целью** работы является исследование динамики нейрона под воздействием шума с помощью уравнения Фоккера-Планка. Полученные характеристики выходного сигнала позволят в дальнейшем изучить возникающие режимы в больших нейронных сетях.

## 1. Модель нейрона «накопление и сброс»

Для описания динамики нейронов применяются модели разного уровня сложности. Одна из простейших моделей нейрона «накопление и сброс». Эта система описывается следующим дифференциальным уравнением:

$$C_m \frac{dV(t)}{dt} = -g_L(V(t) - V_L) + I(t) \quad (1)$$

Разность напряжений  $V(t)$  на мембране изменяется в ответ на инжектируемый ток  $I(t)$ ,  $C_m = 0.2$  - емкость мембраны,  $g_L = 20$  - проводимость утечки,  $V_L$  - потенциал покоя. Согласно модели "накопление и сброс" нейрон рассматривается как  $RC$ -цепь с постоянной времени

$$\tau_m = \frac{C_m}{g_L} = 10 \text{ мс} \quad (2)$$

Генерация спайка происходит в момент достижения мембранного потенциала порогового напряжения  $V_{th}$  таким образом, что нейрон, как говорят, испускает спайк в момент времени  $t_{spk}$  всякий раз, когда  $V(t = t_{spk}) = V_{th} = -50$  мВ, после чего его потенциал мгновенно приобретает значение  $U_r = -60$  мВ. После этого система находится в состоянии сброса  $U_r$  в течение времени рефрактерности  $\tau_r = 2$  мс, затем вновь начинает эволюционировать в соответствии с уравнением (1).  $I(t)$  представляет собой общий синаптический ток, который равен линейной сумме вкладов каждой отдельной пресинаптической клетки.

Начнем с простейшего описания взаимодействия между пре- и пост-синаптическими нейронами. Это сводится к предположению, что каждый пресинаптический спайк вызывает мгновенное изменение постсинаптического напряжения, которое не зависит от текущего значения этого напряжения и зависит только от параметра  $J$ , измеряющего силу синапса. Если  $C$  синапсов идут на нейрон, с величиной связи  $J_i (i = 1, \dots, C)$ , то ток, поступающий

в клетку может быть представлен как

$$I(t) = \sum_i^C J_i \sum_j \delta(t - t_j^i) \quad (3)$$

где  $t_j^i$  - время  $j$ -го спайка от  $i$ -го пресинаптического нейрона. Если нейрон изначально находится в состоянии покоя, а пресинаптическая клетка запускает одиночный спайк в момент времени  $t = 0$ , то путем интегрирования уравнения (1) получается

$$V(t) = V_L + \frac{J_i}{C_m} \exp(-\frac{t}{\tau_m}) \Theta(t) \quad (4)$$

Мы рассматриваем нейрон, получающий синаптический вход от большого числа возбуждающих и тормозящих клеток. Мы делаем два важных предположения относительно активности этих входов: во-первых, каждый из них генерирует спайки в соответствии со стационарным процессом Пуассона, то есть с постоянной вероятностью испускания спайка в единицу времени. Во-вторых, эти пуассоновские процессы независимы от клетки к клетке, то есть возникновение спайка из любой данной клетки не дает никакой информации о вероятности срабатывания любого другого нейрона. Эти предположения необходимо будет проверить на сетевом уровне чтобы теория была самосогласованной.

Обозначим частоту срабатывания возбуждающих (тормозящих) нейронов, как  $\nu_{E_j}(\nu_{I_j})$ , а величину воздействия соответствующих возбуждающих (тормозящих) синапсов, как  $J_{E_j}(J_{I_j})$ . Для простоты мы сначала предположим, что все частоты срабатывания и величины воздействия из каждой пресинаптической популяции идентичны, т. е.  $\nu_{E_j} = \nu_E$  и  $J_{E_j} = J_E$  для всех  $j$  и аналогично для тормозящих нейронов. В этой простой ситуации среднее значение общего тока по времени является постоянным во времени и задается

$$\langle I(t) \rangle = \mu_C = \sum_{j=1}^{C_E} J_{E_j} \nu_{E_j} - \sum_{j=1}^{C_I} J_{I_j} \nu_{I_j} = C_E J_E \nu_E - C_I J_I \nu_I \quad (5)$$

Для процесса Пуассона  $s(t)$  с интенсивностью  $\nu$   $\langle s(t) - \nu \rangle \langle s(t') - \nu \rangle = \nu \delta(t - t')$ . Таким образом, используя тот факт, что входы являются Пуассоновскими и независимыми, связанная корреляционная функция полного тока задается

$$\begin{aligned} \langle (I(t) - \langle I \rangle)(I(t') - \langle I \rangle) \rangle &= \left[ \sum_{j=1}^{C_E} J_{E_j}^2 \nu_{E_j} - \sum_{j=1}^{C_I} J_{I_j}^2 \nu_{I_j} \right] \delta(t - t') = \\ &= [C_E J_E^2 \nu_E - C_I J_I^2 \nu_I] \delta(t - t') = \sigma_C^2 \delta(t - t') \end{aligned} \quad (6)$$

## 2. Численное решение уравнения Фоккера-Планка

Поскольку входы в нейрон считаются стохастическими, временная эволюция  $V(t)$  является вероятностной. Фундаментальным объектом для описания динамики мембранного потенциала является плотность вероятности  $\rho(V, t|V_0, t_0)$  для  $V(t) \in [V, V + dV]$  учитывая, что  $V(t_0) = V_0$ . Если мы рассмотрим ансамбль одинаковых нейронов с разным реализациями, то  $\rho(V, t|V_0, t_0)$  - это доля нейронов в ансамбле с мембранным потенциалом  $[V, V + dV]$ ,

учитывая, что все нейроны находились в  $V_0$  при  $t = t_0$ . Уравнение, описывающее динамику функции  $\rho(V, t|V_0, t_0)$  называется уравнением Фоккера-Планка.

$$\frac{\partial \rho(V, t|V_0, t_0)}{\partial t} = \frac{\partial}{\partial V} \left[ \frac{V - V_{ss}}{\tau_m} \rho(V, t|V_0, t_0) \right] + \frac{\sigma_V^2}{2\tau_m} \frac{\partial^2}{\partial V^2} [\rho(V, t|V_0, t_0)] \quad (7)$$

Для решения уравнения в частных производных будем использовать метод сеток. Рассмотрим отрезок  $[V_L, V_{th}]$  и разобьем его на  $n$  частей с шагом  $h = \frac{V_L - V_{th}}{n}$ . Поскольку  $\rho(V_{th}, t|V_0, t_0) = 0$ , плотность вероятности должна быть равна нулю при  $V = V_{th}$ , в противном случае производная по напряжению была бы бесконечной при  $V = V_{th}$ . Поэтому мы имеем следующие граничные условия

$$\rho(V_{th}, t|V_0, t_0) = 0 \quad \text{и} \quad \frac{\partial}{\partial V} \rho(V, t|V_0, t_0) = -\frac{2\nu(t)\tau_m}{\sigma_V^2} \quad (8)$$

Условия того, что плотность вероятности исчезает достаточно быстро при  $V \rightarrow -\infty$ , дает дополнительные условия на левой границе

$$\lim_{V \rightarrow V_L} \rho(V, t|V_0, t_0) = 0 \quad \text{и} \quad \lim_{V \rightarrow V_L} V \rho(V, t|V_0, t_0) = 0 \quad (9)$$

Перейдем от уравнения в частных производных к системе уравнений в полных производных по времени. Для этого заменим производные по напряжению в уравнении (7) на разностные суммы:

$$\begin{aligned} \frac{\partial \rho(V, t|V_0, t_0)}{\partial V} &= \frac{\rho_{i+1} - \rho_i}{2h} \\ \frac{\partial^2 \rho(V, t|V_0, t_0)}{\partial V^2} &= \frac{\rho_{i+1} - 2\rho_i + \rho_{i-1}}{h^2} \end{aligned} \quad (10)$$

Тогда уравнение Фоккера-Планка примет вид:

$$\left\{ \begin{array}{l} \rho_1 = 0 \\ \frac{d\rho_i}{dt} = \frac{V_i - V_{ss}}{2\tau_m} \cdot \frac{\rho_{i+1} - \rho_i}{2h} + \frac{\rho_i}{\tau_m} + \frac{\sigma_V^2}{2\tau_m} \cdot \frac{\rho_{i+1} - 2\rho_i + \rho_{i-1}}{h^2} \\ \cdot \\ \cdot \\ \cdot \\ \rho_n = 0 \end{array} \right. \quad (11)$$

Первоначально все нейроны в ансамбле находятся в состоянии  $V(0) = V_r$ . Тогда условная плотность вероятности принимает вид  $\rho(V, t_0|V_0, t_0) = \delta(V - V_r)$ . Метод сеток для решения уравнения Фоккера-Планка устойчив только в том случае, если начальное распределение условной плотности вероятности имеет ширину, сравнимую с величиной шага  $h$ .

Известно, что фундаментальным решением уравнения Фоккера-Планка в случае начального распределения в виде дельта-функции является нормальное распределение вида

$$\rho(V, t) = \frac{1}{\sqrt{2\pi D_V(t)}} \exp \left( -\frac{(V(t) - V_{mean}(t))^2}{2D_V(t)} \right) \quad (12)$$

Где  $V_{mean}(t)$  - среднее значение условной плотности вероятности, а  $D_V(t)$  - ее дисперсия.

Рассмотрим уравнение (7) и введем коэффициенты  $a(V) = \frac{V_{ss}}{\tau_m}$ ,  $b(V) = \frac{\sigma_V^2}{\tau_m}$ . Разложим коэффициенты  $a(V), b(V)$  в окрестности  $V = V_{mean}$  до первого слагаемого

$$a(V) \approx a(V_{mean}) + a'(V_{mean})(V - V_{mean}), \quad b(V) \approx b(V_{mean}) \quad (13)$$

Подставив (13) в уравнение (7) и приравняв члены при одинаковых степенях разности  $V - V_{mean}$  получим систему из двух обыкновенных дифференциальных уравнений

$$\begin{cases} \frac{dV_{mean}}{dt} = \frac{V_{ss} - V_{mean}}{\tau_m} \\ \frac{dD_V}{dt} = 2D_V a'(V_{mean}) + b(V_{mean}) \end{cases} \quad (14)$$

Таким образом получим выражение для смещения центра  $V_{mean} = V_{ss} - (V_{ss} - V_r)e^{-\frac{t}{\tau_m}}$  и ширины условной плотности вероятности  $\sigma(t) = \frac{\sigma_V}{\sqrt{2}} \left[ 1 - e^{-\frac{2t}{\tau_m}} \right]^{1/2}$

Определим время  $t'$ , когда СКО сравнимо с шагом сетки  $\sigma(t') = ch$ , где  $c = 1, 2, \dots$

$$ch = \frac{\sigma_V}{\sqrt{2}} \left[ 1 - e^{-\frac{2t'}{\tau_m}} \right]^{1/2} \quad (15)$$

Решая это уравнение получим  $t' = \frac{\tau_m}{2} \ln \frac{1}{1 - \frac{2c^2 h^2}{\sigma_V^2}}$

В таком случае можно задать распределение условной плотности вероятности через момент времени  $t'$  в виде нормального распределения с заданным средним и дисперсией. Мы должны рассматривать достаточно малый интервал времени  $t'$ , чтобы не учитывать наличие поглощающего барьера на границе  $V = V_{th}$ , то есть нужно полагать, что хвост гауссова распределения в точке  $V = V_{th}$  меньше погрешности решения системы уравнений (11).

Численное решение системы уравнений (11) было найдено с помощью метода Рунге-Кутты 5 порядка при использовании встроенной функции ode45 в среде Matlab. Вид условной плотности вероятности в разные моменты времени представлен на рис. 1.

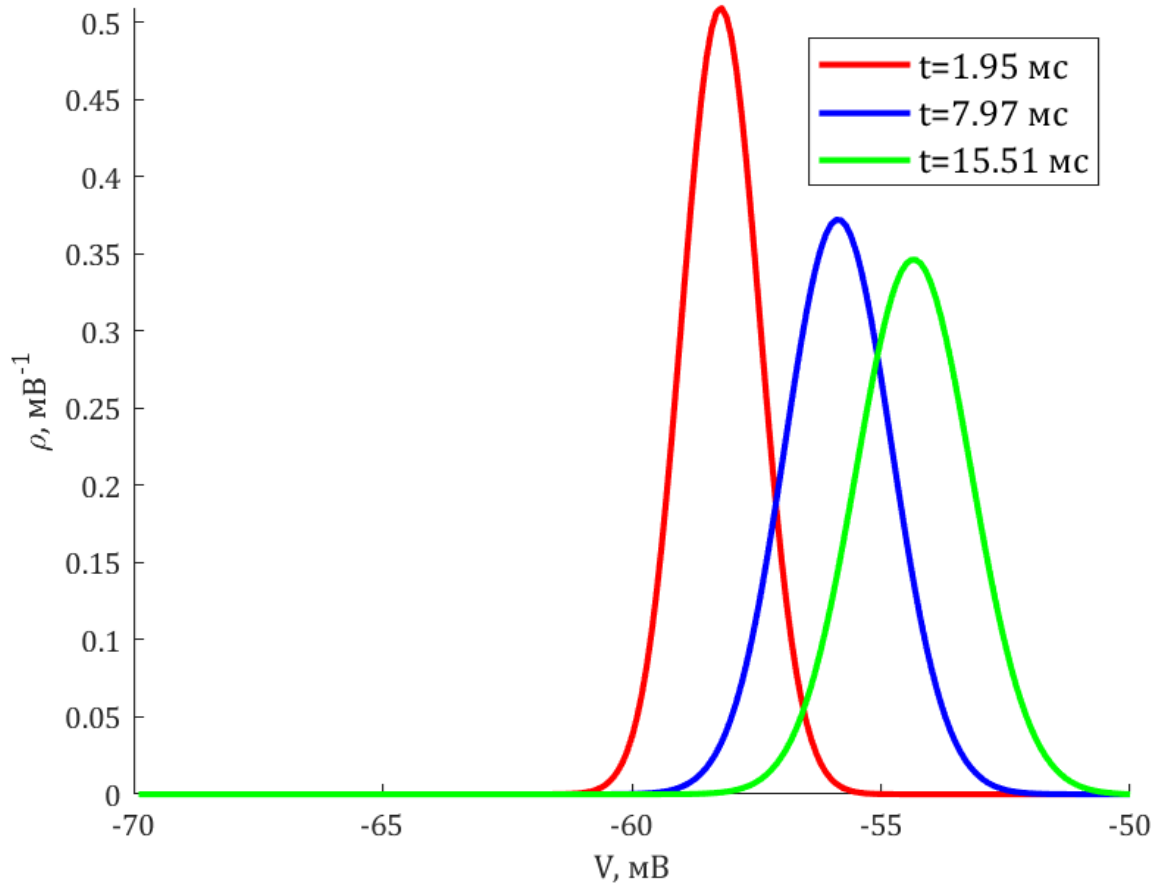


Рис. 1: Условная плотность вероятности  $\rho(V, t)$  в разные моменты времени

Введем функцию потока вероятности  $S(t) = \int_{V_L}^{V_{th}} \rho(V, t) dV$ , которая характеризует вероятность нахождения мембранного потенциала к моменту времени  $t$  в интервале  $V \in [V_L, V_{th}]$ . В таком случае функция  $1 - S(t)$  характеризует вероятность срабатывания нейрона к моменту времени  $t$ , то есть является интегральной функцией распределения межспайкового интервала. Продифференцировав это выражение по  $t$  получим условную плотность вероятности межспайкового интервала для ансамбля частиц. Вид этой функции представлен на рис. 2.

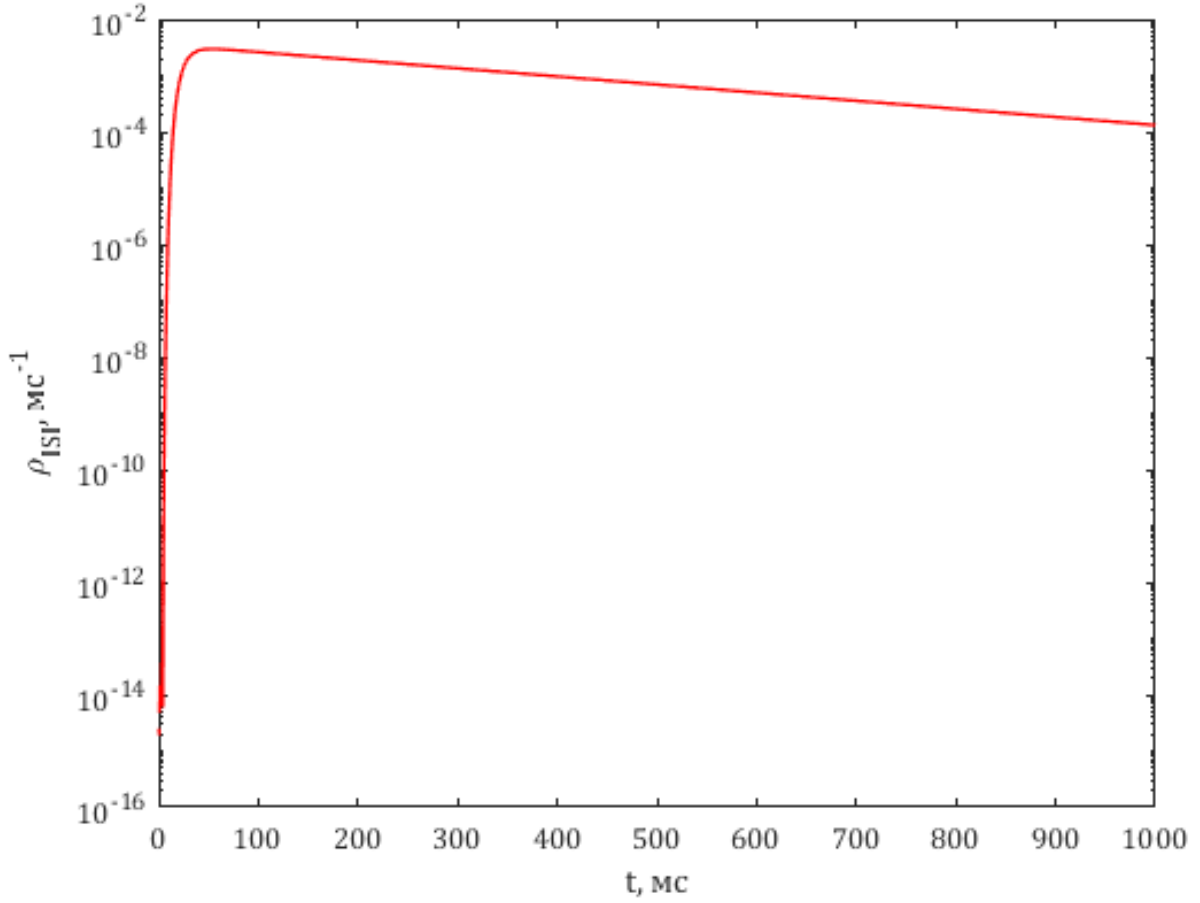


Рис. 2: Условная плотность вероятности межспайкового интервала  $\rho_{ISI}(t)$

### 3. Сравнение решения уравнения Фоккера-Планка с микроскопической системой

Поскольку уравнение Фоккера-Планка описывает условную плотность вероятности нахождения мембранного потенциала клетки в интервале  $V \in [V_L, V_{th}]$  для большого числа частиц, то необходимо сравнить распределения, получаемые в результате численного решения уравнения ФП, с распределениями, получаемыми в результате моделирования большого числа нейронов  $N$ . Ансамбль, состоящий из  $N$  таких нейронов, называется микроскопической системой.

Для того, чтобы найти условную плотность вероятности  $\rho(V, t)$  для этой системы, необходимо промоделировать динамику  $N$  нейронов под воздействием белого шума с заданными характеристиками  $\mu_C = g_L(V_{ss} - V_L)$  и  $\sigma = \sigma_V$ . График зависимости условной плотности вероятности в фиксированный момент времени представлен на рис. 3.

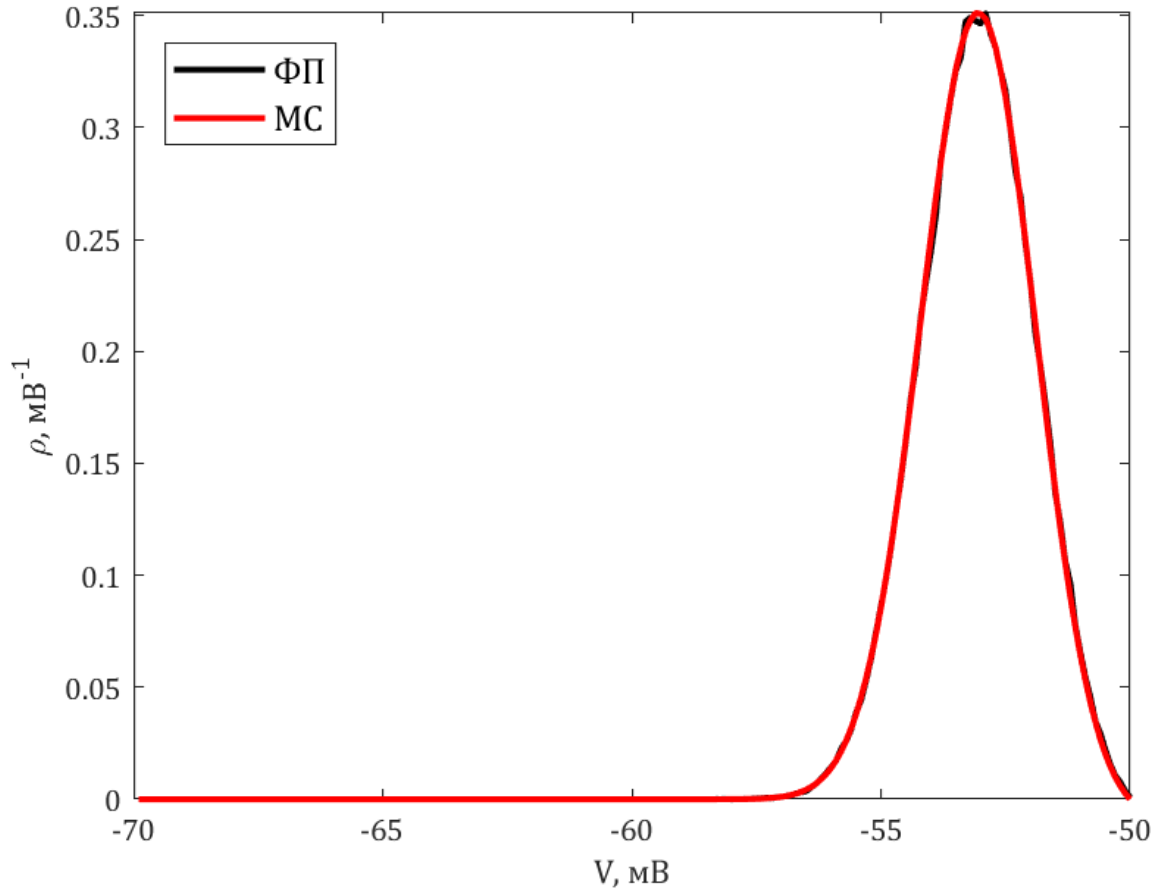


Рис. 3: Условная плотность вероятности  $\rho(V, t)$  при численном решении уравнения ФП и для микроскопической системы (МС) в момент времени  $t = 15$  мс

Чтобы определиться с числом нейронов, которые необходимо выбрать в микроскопической системе, необходимо проанализировать зависимость относительной ошибки распределений в случае решения уравнения ФП и микроскопической системы  $\epsilon(N)$  от числа нейронов в системе  $N$ . График зависимости  $\epsilon(N)$  представлен на рис. 4. Очевидно, что при  $N \rightarrow \infty$  относительная ошибка будет стремиться к нулю, но на программном уровне нельзя выбрать сколько угодно большое число  $N$ , так как это приводит к неограниченному росту времени симуляции. В качестве значения числа нейронов в системе мы остановились на величине  $N = 10^6$ .



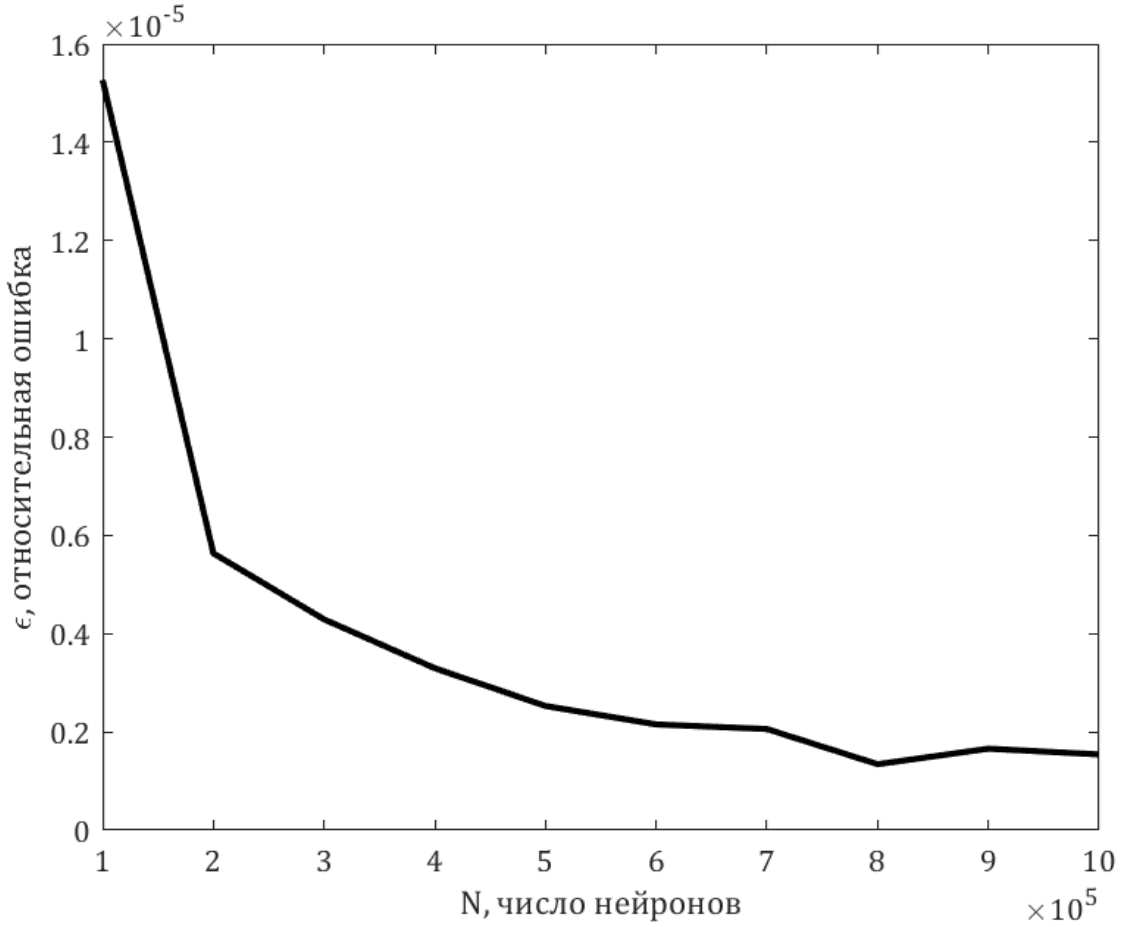


Рис. 4: Относительная ошибка  $\epsilon(N)$  от числа нейронов в микроскопической системе  $N$

При фиксированном числе нейронов в микроскопической системе стоит также следить за количеством ячеек по напряжению  $n$ . Так как с одной стороны шаг ячейки должен быть мал по сравнению со всем интервалом напряжений  $h \ll \Delta V$ , но с другой стороны в одну ячейку должно попадать большое число нейронов из микроскопической системы  $\frac{N}{n} \gg 1$ . Из этих условий получим ограничение на количество ячеек в интервале напряжений  $1 \ll n \ll N$ . В качестве оптимального значения  $n$  выберем среднее геометрическое из левой и правой границы неравенства  $n = \sqrt{N}$ . Проанализируем зависимость относительной ошибки  $\epsilon(n)$  от количества ячеек в интервале напряжений  $n$ . График  $\epsilon(n)$  представлен на рис. 5

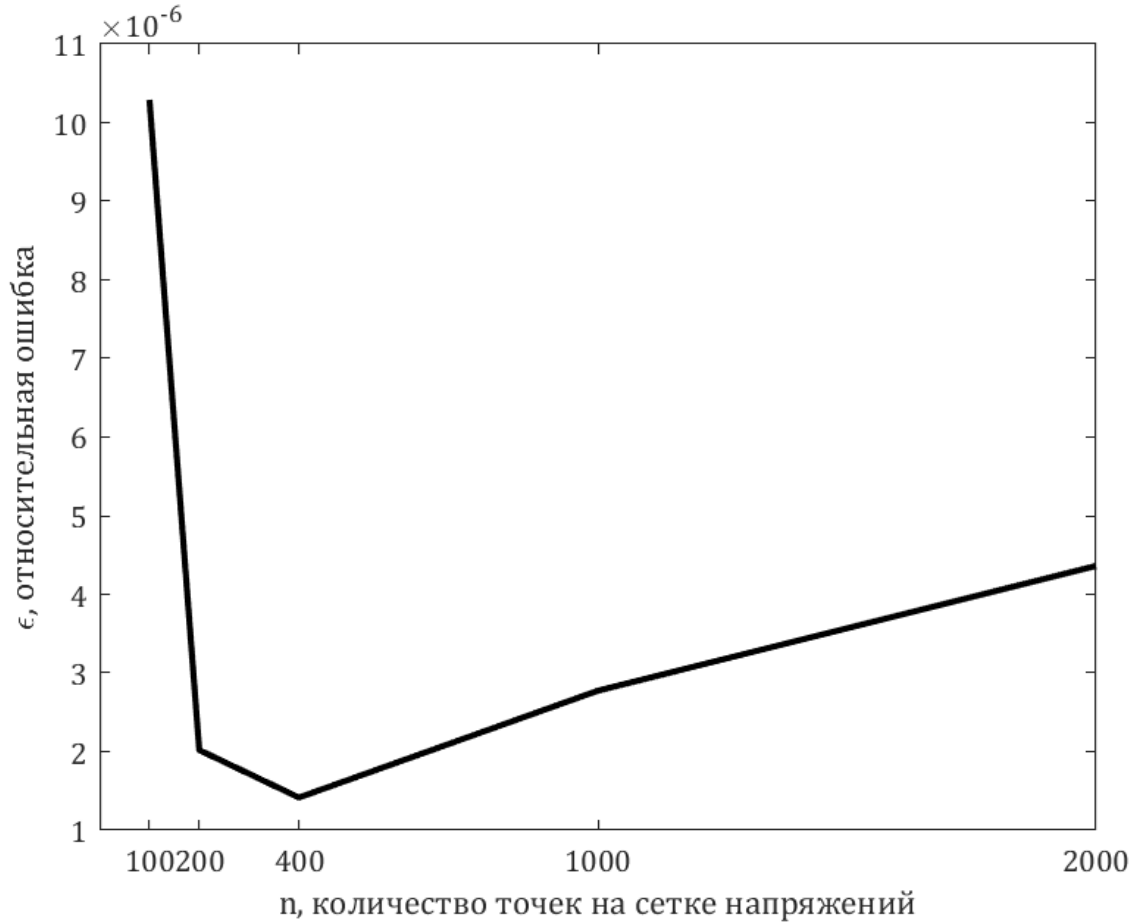


Рис. 5: Относительная ошибка  $\epsilon(n)$  от числа ячеек в интервале напряжений  $n$

## 4. Анализ области параметров входного сигнала

Так как следующей задачей в данной работе является анализ характеристик сети, состоящей из большого числа нейронов, то необходимо проанализировать динамику одного нейрона в зависимости от характеристик входного сигнала. Каждый нейрон в связанной сети получает на входе сигнал с определенными характеристиками, под действием которого генерирует выходной сигнал, характеристики которого определяются характеристиками входного сигнала. Однако в сети выходные сигналы с нейронов складываются и вновь подаются на их вход, поэтому характеристики входного сигнала также зависят от характеристик выходного сигнала. Мы полагаем, что на вход клетки поступает пуассоновский поток событий, в таком случае выходным сигналом также должен являться сигнал с распределением Пуассона для большой сети. В таком случае фактор Фано должен стремиться к единице  $f = \frac{\langle T_{ISI} \rangle}{\sigma(T_{ISI})} \rightarrow 1$ . Рассмотрим два режима работы нейрона:

**Область регулярного срабатывания нейронов** Будем полагать, что начальное распределение плотности вероятности является  $\delta$ -функцией в точке  $V_r$ . Рассмотрим решение уравнения Фоккера-Планка в отсутствии границы. Тогда ширина  $\Delta V$  условной плотно-

сти вероятности в момент, когда ее центр проходит точку  $V_{th}$  должна быть много меньше  $\lim_{t \rightarrow \infty} \sigma(t) = \frac{\sigma_V}{\sqrt{2}} \left[ 1 - e^{-\frac{2t}{\tau_m}} \right]^{1/2} = \Delta V_{ss} = \frac{\sigma_V}{\sqrt{2}}$ , то есть  $\Delta V \ll \frac{\sigma_V}{\sqrt{2}}$ . Используя уравнение (14)

можно найти ширину  $\Delta V = \sigma(t) = \frac{\sigma_V}{\sqrt{2}} \left[ 1 - \left( \frac{V_{th} - V_{ss}}{V_r - V_{ss}} \right)^2 \right]^{1/2}$ . Регулярное срабатывание означает, что СКО межспайкового интервала должно быть много меньше среднего значения  $\Delta T_{ISI} \ll T_{ISI}$ , тогда  $\Delta T_{ISI} = \frac{\Delta V}{\dot{V}|_{t=T_{ISI}}} \ll T_{ISI}$ . В итоге получим ограничение на эту область

$$\frac{\sigma_V}{\sqrt{2}} \left[ 1 - \left( \frac{V_{th} - V_{ss}}{V_r - V_{ss}} \right)^2 \right]^{1/2} \ll (V_{ss} - V_{th}) \ln \frac{V_r - V_{ss}}{V_{th} - V_{ss}} \quad (16)$$

**Область редкого срабатывания нейронов** Будем также полагать, что начальное распределение плотности вероятности является  $\delta$ -функцией в точке  $V_r$ . В таком случае достижение этого режима возможно, если  $\Delta V_{ss} \ll V_{th} - V_{ss}$ , то есть будет справедливо следующее соотношение

$$\frac{\sigma_V}{\sqrt{2}} \ll V_{th} - V_{ss} \quad (17)$$

На рис. 6 представлено разбиение пространства параметров на области, описываемые уравнениями (16) и (17), где неравенство  $\ll$  переходит в уравнение  $=$ . На диаграмме также представлены значения Фано-фактора в зависимости от интенсивности шума  $\sigma_V$  и постоянного воздействия  $\mu_C$ .

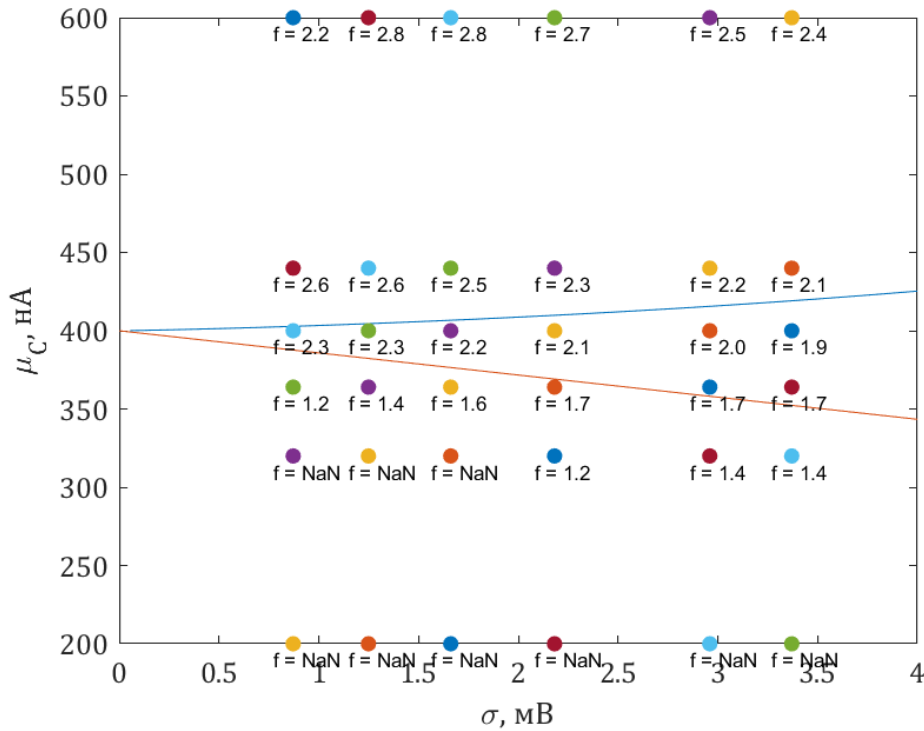


Рис. 6: Область параметров внешнего воздействия

## Заключение

В данной работе было рассмотрено численно решение уравнение Фоккера-Планка для условной плотности вероятности  $\rho(V, t|V_0, t_0)$ . Было показано, что распределения, полученные в результате решения уравнения (7), имеют хорошее соответствие с распределениями в микроскопической системе. Этот факт позволяет в дальнейшем рассматривать коллективную динамику сети на основе уравнения ФК, а не микроскопического распределения, что значительно сильно экономить временные ресурсы на моделирование сети.